

北海道大学工学部 正会員
北海道大学工学部 正会員

湯浅 晶
丹保 邦仁

1. はじめに

塩素処理により生成するトリハロメタン(THM)の量は、塩素添加濃度・水中有机物濃度・反応時間・pHといふ因子に左右されることが^{1),2)}から、THM生成量を各因子のべき乗関数形で表現する試みがなされている。

$$[THM] = k [Cl_2]^a [TOC]^b [\alpha]^c [pH - \alpha]^d \dots \text{式(1)}$$

反応時間・pHを一定とすると、THM生成量と塩素添加濃度(Cl₂)、有機物濃度(TOC)の関係は一般に図1のようになると思われる。図中の領域①は、還元性無機物と有機物が競合して塩素を消費し、THMが生成し始める。領域②は、塩素量の増加に応じてTHMが直線的に増加する。大過剰の塩素が添加された領域④では有機物の全量がTHM生成反応に関与し、THM生成量はほぼ有機物濃度のみに支配される。領域③は、②から④への遷移領域であり、塩素量と有機物量の両者に支配される。本論文では各種有機廃水のTHM生成能試験の結果を、単位有機物量当りの塩素添加量(Cl₂/TOC)とTHM生成能(THM/TOC)の関係として整理し、上述の概念が成立するか否かを検討した。

2. 実験方法

ハルト廃水(KP・SP)、下水放流水(セオライト処理によりNH₄⁺-Nを除去したもの)、泥炭地水とともに凝集処理水を0.45μmメンブランで沪過して溶解成分を試料とした。これらを精製水(蒸留+活性炭吸着)で適宜希釈し、NaOCl溶液を添加して密閉容器中で塩素処理を行なった。THM測定はヘッドスペース法によるガスクロマトグラフィーを用いた。

3. 実験結果

各廃水についてTHM/TOCとCl₂/TOCの関係を両対数紙上にプロットしたもののが図2、5~7に示す。各図においてlog(THM/TOC)とlog(Cl₂/TOC)の関係は2~3段の直線で近似でき、各直線区間ににおいては次式が成立する。図中に各区間を実線で示し、その傾き(m)を示した。

$$[THM/TOC] \propto [Cl_2/TOC]^m \dots \text{式(2)} \quad あるいは \quad [THM] \propto [Cl_2]^m [TOC]^{1-m} \dots \text{式(3)}$$

KP廃水のTHM生成能(図2)は、反応時間2日ではm=1.0と0.29の二領域に分かれ、それとも図1中の領域②と③に相当する。反応時間経過とともに領域②の区間は広がる傾向を示している。領域③の傾きは1~6日後まではm≈0.3とほぼ一定であるが、10日目以降は次第に減少し14日目にはm=0.14にまで減少する。反応時

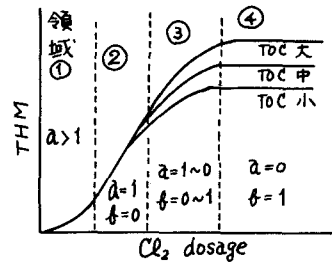


図1 THM生成パターン

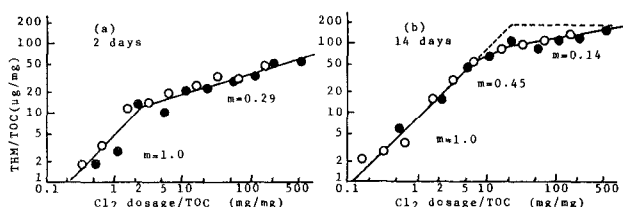


図2 KP廃水のTHM生成パターン (pH 7, 20°C)
(●は凝集処理水)

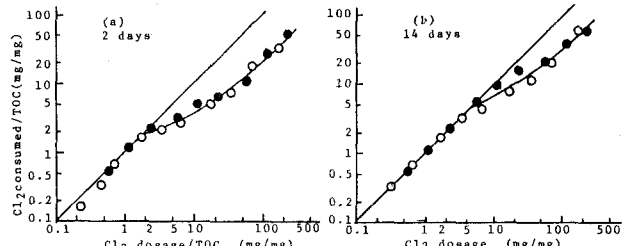


図3 KP廃水の塩素添加量に対する塩素消費量

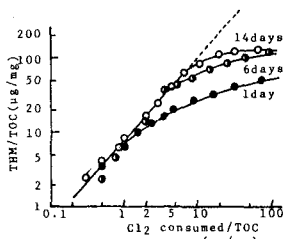


図4 KP廃水のTHM生成量と塩素消費量の関係

間をより長くとれば、図2(b)に示した破線に近づき、領域④($m=0$)に相当する部分が現れるものと思われる。

塩素添加量に対する塩素消費量を図3に示す。塩素添加量が消費量にはほぼ等しい領域と、塩素が残存する領域の二つに分かれ、前者は図2の領域②($m=1$)の区間とほぼ一致する。したがって領域②では添加塩素のはば全量がTHM生成に関与する反応に消費され、これとほぼ比例した量のTHMが生成される(図4)。残存塩素が存在する領域③以降では、同一の塩素消費量/TOCに対するTHM/TOCが反応時間経過とともに増加し(図4)、塩素消費にともなって生成したTHM中間体がTHMへと転換していくことが示されている。

SP廃水(図5)では、領域①と③の二つに分かれており、領域②は出現していない。pH未調整の場合には塩素添加量の増加に伴うpH上昇のためにpH7の場合よりも領域①の傾きが大きくなっている。この広範囲な領域①の出現はSP廃水中に多量の亜硫酸酸が存在するためと思われる。

下水放流水(図6)では、KP廃水の場合とほぼ同様なパターンを示し、領域②と③が出現している。 $\text{NH}_4^+ \text{-N}$ を除去しない場合には、SP廃水の場合のように領域①が出現するものと思われる。

泥炭地水(図7)では、反応時間が短い1時間後ではTOCレベルによる差異が大きいが、 Cl_2/TOC が増加するにつれて、 $m=1.7$ から0.36へと段々と減少する傾向を示している。反応時間経過につれてTOCレベルによる差異が縮小し、24時間後には領域①($m=1.7$)、領域②($m=1.0$)、領域③($m=0.05$)の三領域の存在が明瞭となる。

4.まとめ

THM生成能(THM/TOC)は添加塩素濃度レベル(Cl_2/TOC)によって図8に示すような領域に分かれる。領域①は典型的な還元性無機物である亜硫酸を多量に含むSP廃水で顕著に出現した。領域②はSP廃水を除く他の試料すべてに出現し、反応時間経過につれてその範囲を広げていく傾向を示す。領域③はすべての試料にみられ、おおむね $m=0.2\sim0.3$ 程度であるが必ずしも一定値とは限らず、反応時間経過とともに領域②および④へ移行する部分があらわるためにその範囲は縮小し傾き(m)も変化する。反応時間が短い場合にはTOCレベルによる差異もあらわれる。領域④は、実験条件の範囲内では明瞭には出現しなかったが、反応時間が長くなると領域③の一部がこの領域④へと遷移する様子がみうれしい。(参考文献) 1)浦野・和田; 第15回日本水質汚濁研究会年譲 p.104, 2)相次・船木・真柄; 第18回衛生工学研究討論会講演集 p.247

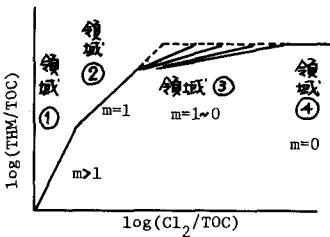


図8 THM生成パターン

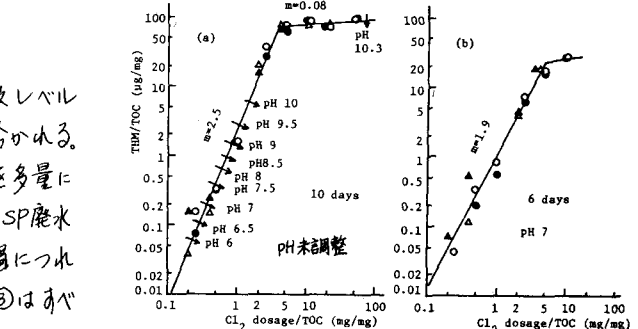


図5 SP廃水のTHM生成パターン(20°C)
(黒ぬきは凝集処理水)

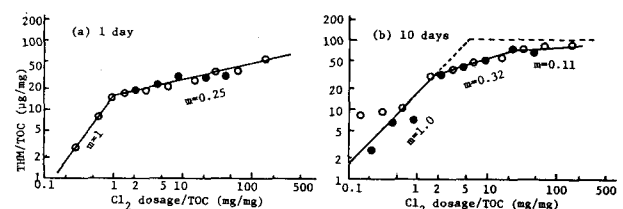


図6 下水放流水のTHM生成パターン($\text{pH}7, 20^\circ\text{C}$)
(●は凝集処理水)

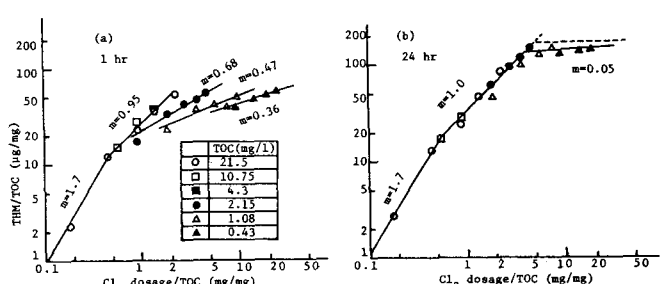


図7 泥炭地水のTHM生成パターン(25°C)